

Populationsgenetik 3: Kopplungsungleichgewicht (LD)

Peter N. Robinson

Institut für medizinische Genetik
Charité Universitätsmedizin Berlin

1. Dezember 2014

Outline

1 LD

2 LD-Koeffiziente

3 Normalisierende Selektion

4 Die molekulare Uhr

Hardy-Weinberg-Gesetz

- Letztes Mal ...
- Eigenschaften eines *einzelnen* Genlocus: Allelfrequenzen, Genotypfrequenzen
- Hardy-Weinberg-Gesetz: Beziehung zwischen Allel- und Genotypfrequenzen

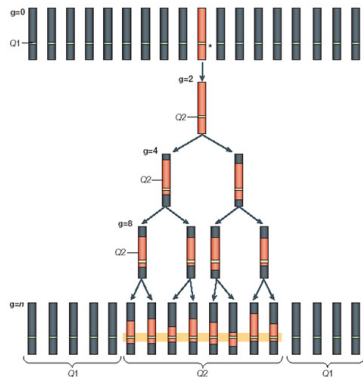
$$p^2 + 2pq + q^2$$

Kopplungsungleichgewicht

- Dieses Mal ...
- Eigenschaften von Gruppen von Genorten
- Haplotypen
- Kopplungsgleichgewicht
- Kopplungsungleichgewicht ([englisch: Linkage Disequilibrium, LD](#))

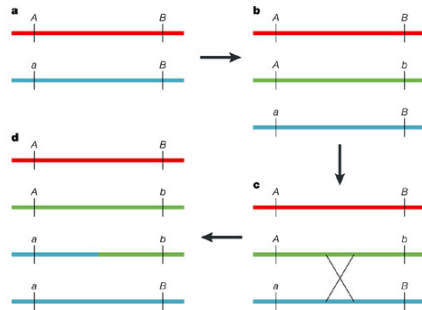
Eine Geschichte zweier Mutationen

- Heute existierende Haplotypen sind durch weit zurückliegende Mutationseignisse entstanden



- Das Allel **Q2** entsteht in der Generation 0 durch Mutation von Allele **Q1**.
- Zunächst besteht ein komplettes LD zwischen Q2 und den Allelen aller anderen Loci im ersten Gameten, welcher Q2 trägt
- Dieses LD verringert sich allmählich im Laufe der Generationen auf Grund von **Rekombination**
- LD bleibt für eng benachbarte Loci bestehen
- In Generation n kann noch ein minimaler Haplotyp um Q2 bei mehreren Individuen identifiziert werden (gelber Balken)

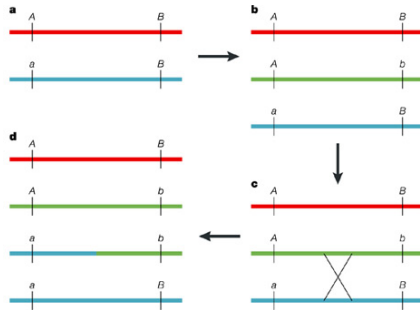
Eine Geschichte zweier Mutationen (2)



Nature Reviews | Genetics

- a Anfangs besteht ein polymorpher Locus mit zwei Allelen, **A** und **a**.

Eine Geschichte zweier Mutationen (3)

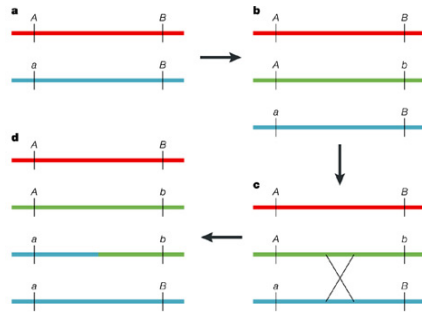


Nature Reviews | Genetics

- b** Tritt eine Mutation an einem benachbarten Locus auf (**B** → **b**), betrifft die Mutation ein einzelnes Chromosom mit entweder dem **A**- oder dem **a**-Allel.

Daher werden früh in der Geschichte der Mutation nur drei der möglichen vier Haplotypen in der Population beobachtet (In diesen Beispiel: **AB**, **aB** und **Ab** aber nicht **ab**).

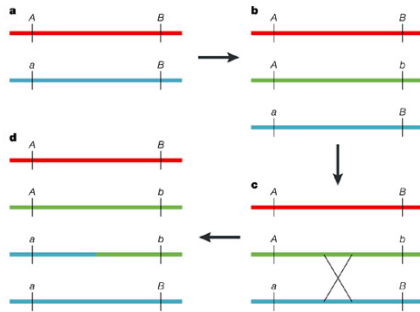
Eine Geschichte zweier Mutationen (4)



Nature Reviews | Genetics

- c Die anfänglich absolute Assoziation zwischen den Allelen an den beiden Loci wird im Laufe der Generationen durch Rekombination zwischen den Loci verringert.

Eine Geschichte zweier Mutationen (5)

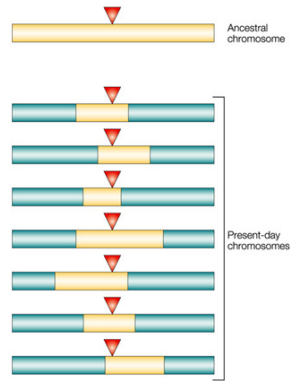


Nature Reviews | Genetics

- d Das Ergebnis ist ein vierter Haplotyp und eine Abnahme des LD durch eine Zunahme der Frequenz des rekombinanten Haplotypes **ab** in der Population.

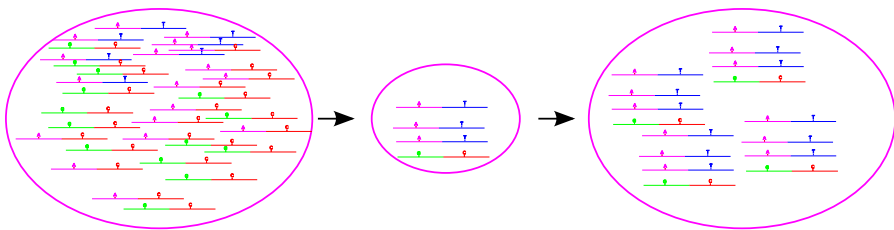
Kopplungsungleichgewicht

- Linkage Disequilibrium: **LD**
- Chromosomen sind Mosaiken
 - ▶ Rekombination
 - ▶ Mutation
 - ▶ Genetische Drift
 - ▶ Natürliche Auslese
(Selektion)
- Kombinationen von Allelen in nah beieinander liegenden Loci: weit zurückliegende ("ancestral") Haplotypen



Nature Reviews | Genetics

Gründereffekt und LD



- Eine in der Stammpopulation bestehende, große genetische Variabilität reduziert sich bei der Gründung einer Kolonie durch wenig Individuen
- Häufige Ursache von LD in menschlichen Populationen

LD und Kartierung (Vorschau)

- In einer späteren Vorlesung werden wir die Bedeutung des LD für die Entdeckung von genetischen Varianten, die mit einer erhöhten Anfälligkeit für häufige Krankheiten wie Diabetes, Herzinfarkt, Schlaganfall, Allergie, . . . , eingehen
- Dieses Mal wollen wir die mathematischen Hintergründe und die biologischen Grundlagen erklären
- *Wichtig:* Unterscheide zwischen Linkage und Linkage Disequilibrium (LD):
 - ▶ **Linkage:** gemeinsame Vererbung zweier Loci in Familien
 - ▶ **LD:** Beziehung zwischen zwei Allelen an 2 Loci in einer Population

Genotyp vs. Haplotype

1 Haplotype

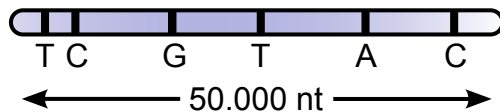
- ▶ "haploider Genotyp"
- ▶ Eine Rekombination wird nur selten zwei Loci trennen, die nahe beieinander auf einem Chromosom liegen
- ▶ Deshalb werden Gruppen von Allelen, die auf demselben Chromosomenabschnitt liegen eher zusammen (als durch Rekombination getrennt) als **Block** übertragen werden

2 Genotyp

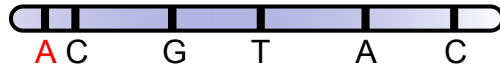
- ▶ die (diploide) genetische Ausstattung eines Individuums an einem oder mehreren Loci. Beide Exemplare eines Allels werden berücksichtigt, z.B. der Genotyp an einem Locus mit Allelen A und a kann AA, Aa oder aa sein.

Haplotyp

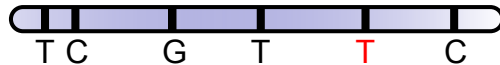
Ursprünglicher Haplotyp



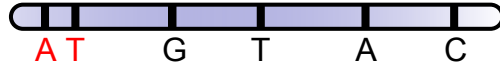
Haplotyp 1



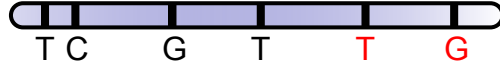
Haplotyp 2



Haplotyp 3

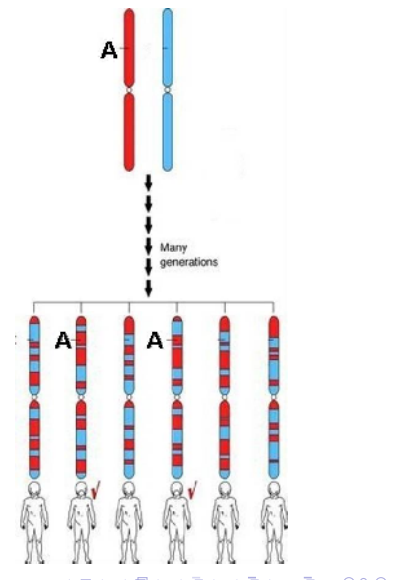


Haplotyp 4



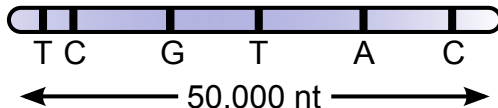
Haplotype & Krankheitsassoziation

- Variante A tritt als Mutation auf einem bestimmten Haplotype auf
- Rekombination über viele Generationen erzeugt unterschiedliche Chromosomen
- Falls die Variante **A** im ursprünglichen Chromosom das Risiko für eine bestimmte Erkrankung erhöht, haben die Personen, welche dieses Allel geerbt haben, demnach ein erhöhtes Risiko

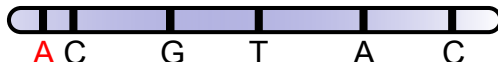


Haplotyp

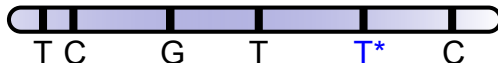
Ursprünglicher Haplotyp



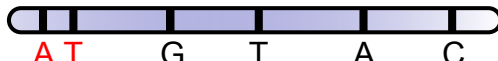
Haplotyp 1



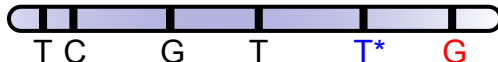
Haplotyp 2



Haplotyp 3



Haplotyp 4



- Mit Erkrankung assoziiert: Allel **T***
- **T*** ist an andere SNPs auf diesem Haplotyp (z.B. das T an Position 1) physikalisch gekoppelt

Kopplungsungleichgewicht

- Ein Kopplungsungleichgewicht (**LD**) besteht zwischen zwei Genloci, die auf einem Chromosom eng beieinander liegen, und deshalb zusammenvererbt werden.
- Zwei eng beieinander liegende Loci werden dann nicht zusammen vererbt, wenn zwischen ihnen eine Rekombination erfolgt.
- Begriffe
 - ▶ Haplotypfrequenz
 - ▶ D , D' , r^2

Outline

1 LD

2 LD-Koeffiziente

3 Normalisierende Selektion

4 Die molekulare Uhr

LD: D

- A und a: zwei Allele von einem Locus (Allelfrequenz p_A und p_a)
- B und b zwei Allele eines anderen Locus. (Allelfrequenz p_B und p_b)
- Häufigkeiten von Kombinationen dieser Allele innerhalb einer Population von Gameten[†]: p_{AB}, p_{Ab}, p_{aB} und p_{ab} .

[†]zur Erinnerung sind Gameten Keimzellen, d.h. haploide Zellen, die im Gegensatz zu diploiden Zellen jeweils nur ein Exemplar jedes Locus haben.

LD: D

- Die entsprechenden Allelfrequenzen ergeben sich aus der Summe der Genotypfrequenzen:

$$p_a = p_{ab} + p_{aB}$$

$$p_A = p_{Ab} + p_{AB} = 1 - p_a$$

und

$$p_b = p_{ab} + p_{Ab}$$

$$p_B = p_{AB} + p_{aB} = 1 - p_b$$

Kopplungsgleichgewicht

- Sind die beiden Genloci untereinander im Kopplungsgleichgewicht[†], dann ist die Wahrscheinlichkeit, dass ein Gamet das Allel a aufweist, unabhängig von der Wahrscheinlichkeit, dass er das Allel b aufweist

$$p_{ab} = p_a \times p_b$$

[†]zum Beispiel weil die Genloci auf unterschiedlichen Chromosomen gelegen sind

Kopplungsungleichgewicht

- Sind die Loci nicht im Kopplungsgleichgewicht, dann gilt

$$p_{ab} \neq p_a \times p_b$$

- Wir führen die Variable D ein, um die Abweichung vom Kopplungsgleichgewicht zu beschreiben:

$$p_{ab} = p_a p_b + D \tag{1}$$

LD

Hieraus folgt

$$\begin{aligned} p_{aB} &= p_a - p_{ab} \\ &= p_a - p_a p_b - D \\ &= p_a (1 - p_b) - D \\ &= p_a p_B - D \end{aligned}$$

Eine analoge Berechnung zeigt:

$$p_{Ab} = p_A p_b - D$$

und[†]

$$p_{AB} = p_A p_B + D$$

LD

Die am häufigsten verwendete Definition der LD-Koeffiziente D ist jedoch

$$D = p_{AB}p_{ab} - p_{Ab}p_{aB} \quad (2)$$

Diese Formel leitet sich von der Definition (1) ab:

$$\begin{aligned} D &= p_{ab} - p_a p_b \\ &= p_{ab} - (p_{aB} + p_{ab})(p_{Ab} + p_{ab}) \\ &= p_{ab} - p_{aB}p_{Ab} - p_{ab}p_{ab} - p_{aB}p_{ab} - p_{Ab}p_{ab} \\ &= p_{ab}(1 - p_{ab} - p_{aB} - p_{Ab}) - p_{aB}p_{Ab} \\ &= p_{ab}(p_{AB}) - p_{aB}p_{Ab} \\ &= \boxed{p_{AB}p_{ab} - p_{Ab}p_{aB}} \end{aligned}$$

D und Allelfrequenzen

Die Abbildung zeigt den Einfluss von unterschiedlichen Allelfrequenzen auf die Spannweite von *D*.

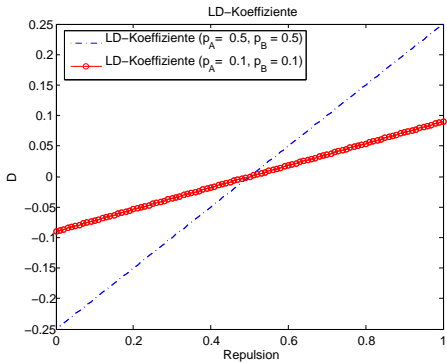
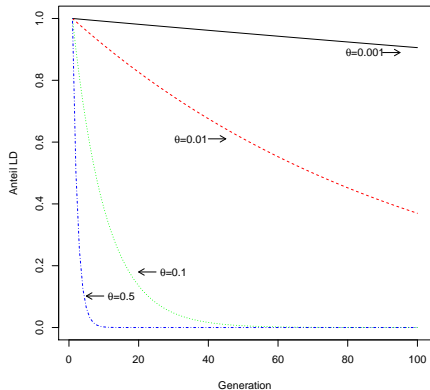


Abbildung: Abhangigkeit der LD-Koeffiziente D von den Allelfrequenzen und vom Grad an Repulsion. 0 = komplett e Kopplung von AB bzw. ab, 1,0 = komplett e Repulsion (Überschuss an Ab und aB).

Wie lange dauert es, bis ein Kopplungsungleichgewicht verschwunden ist?



$$D^i = (1 - \theta)^i D^0$$

R

```
generations <- 1:100 ## 1,2,...,100
theta <- c(0.001,0.01,0.1,0.5)
n <- 100 ## Reihen
m <- 4 ## Spalten
D <- matrix(data=rep(0,n*m), nrow=n, ncol=m)
D[1,] = rep(1,4) ## erst Reihe mit "1" initialisieren

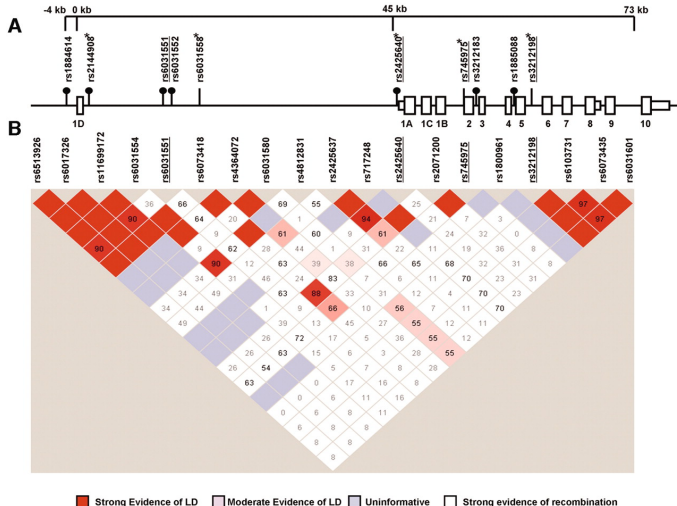
for (k in 2:n) {
  D[k,] = D[k-1,] * (1-theta) ## elementweise Multiplikation
}
```

- `rep(x, y)` Element “x” y-mal wiederholen
- `matrix(data=rep(0, n*m), nrow=n, ncol=m)` initialisiere $n \times m$ Matrix, setze alle Elemente auf 0.
- `D [1,]` die erste Reihe von D

```
plot(generations ,D[,1],type='l',lty=1,col='black',
      ylim=c(0,1),
      ylab="Anteil LD",
      xlab="Generation")
lines(generations ,D[,2],type='l',lty=2,col='red')
lines(generations ,D[,3],type='l',lty=3,col='green')
lines(generations ,D[,4],type='l',lty=4,col='blue')
```

- S. ?arrows und ?text für Hilfe zur Platzierung von Text und Pfeilen in Plots

LD-Karte



- HNF4A-Genstruktur und LD-Karte
- Mit Diabetes mellitus Typ 2 assoziierte SNPs

Outline

1 LD

2 LD-Koeffiziente

3 Normalisierende Selektion

4 Die molekulare Uhr

Beispiel: Normalisierende Selektion

- Als etwas ausführlicheres Beispiel des Einflusses des LD wollen wir die normalisierende Selektion untersuchen.
- Die natürliche Auslese wirkt häufig gegen Individuen an den Extremen des phänotypischen Spektrums und begünstigt Ausprägungen eines phänotypisches Merkmals, die dem Mittelwert des Merkmals in der Bevölkerung nahe sind. Dieses Phänomen ist zunächst Hermon Bumpus 1898 aufgefallen[†]

[†]Bumpus, Hermon C. 1898. Eleventh lecture. The elimination of the unfit as illustrated by the introduced sparrow, *Passer domesticus*. (A fourth contribution to the study of variation.) Biol. Lectures: Woods Hole Marine Biological Laboratory, 209-225.

Beispiel: Normalisierende Selektion



- Nach einem schweren Wintersturm wurden 136 Hausschwalben untersucht, wovon die Hälfte überlebte
- Unter den überlebenden fand sich ein Überschuss an Vögeln mit durchschnittlichen Maßen hinsichtlich Flügellänge, während Vögel mit kurzen oder langen Flügeln öfter als erwartet gestorben waren.

Normalisierende Selektion: Eine Simulation

Phänotyp (Länge in cm)	8	9	10	11	12
Genotypen	$\frac{ab}{ab}$	$\frac{aB}{ab}$ $\frac{Ab}{ab}$	$\frac{aB}{aB}$ $\frac{aB}{Ab}$ $\frac{Ab}{Ab}$ $\frac{Ab}{AB}$	$\frac{aB}{AB}$ $\frac{AB}{Ab}$	$\frac{AB}{AB}$
Fitness	0,8	0,9	1,0	0,9	0,8

- a bzw. b: +2 cm
- A bzw. B: +3 cm

Normalisierende Selektion: Eine Simulation

- Anfangs Kopplungsgleichgewicht mit $p(a) = 0,55$, $p(A) = 0,45$, $p(b) = 0,6$ und $p(B) = 0,4$
- Ohne LD gilt $p(ab) = p(a)p(b)$ usw.
- Die diploiden Genotypfrequenzen für erwachsenen Schwalben können aus den haploiden Genotypfrequenzen der Gameten wie folgt berechnet werden[†]:

$$p\left(\frac{ab}{ab}\right) = p(ab)p(ab)$$

$$p\left(\frac{aB}{ab}\right) = 2p(aB)p(ab)$$

[†]Der Faktor 2 kommt daher, dass der Gamet aB von der Mutter und der Gamet ab vom Vater kommen kann oder auch umgekehrt.

Normalisierende Selektion: Eine Simulation

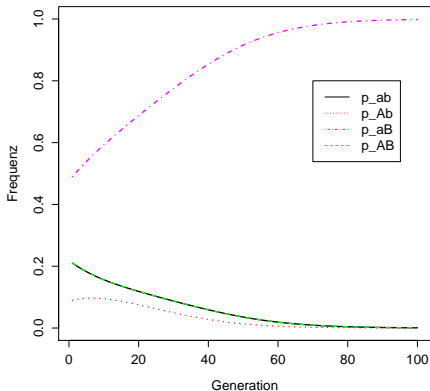


Abbildung: Normalisierende Selektion

- Im folgenden wird der R-Code erklärt, womit die Simulation durchgeführt wurde.

R-Code

Unter der Annahme eines Kopplungsgleichgewichts gilt
 $p(ab) = p(a)p(b)$ usw.

```
p_a <- 0.3
p_b <- 0.7
ngenerations <- 100

p_A <- 1-p_a
p_B <- 1-p_b

# Am Anfang: Kopplungsgleichgewicht:  $p(ab)=p(a)p(b)$  usw.
p_ab <- p_a*p_b
p_aB <- p_a*p_B
p_Ab <- p_A*p_b
p_AB <- p_A*p_B
```

R-Code

Der nächste Code-Abschnitt definiert die Vektoren d als 100×1 -Vektor und freq als 100×4 -Matrix. Diese Variablen werden für Generationen 1 ... 100 die Werte für die LD-Koeffiziente D und die Frequenzen der vier Genotypen festhalten.

```
d <- vector(mode="numeric", ngenerations)
freq <- matrix(data=rep(0, ngenerations * 4),
                nrow=ngenerations, ncol=4)
```

R-Code

Im folgenden berechnen wir für die erste Generation D :

$$D = p(AB)p(ab) - p(Ab)p(aB)$$

und speichern das Ergebnis im ersten Feld von d . Wir speichern die Genotypfrequenzen der ersten Generation in der ersten Reihe von freq .

```
D <- p_AB*p_ab - p_Ab*p_aB  
d[1] <- D  
freq[1,] <- c(p_ab,p_aB,p_Ab,p_AB)
```

R-Code

- Ab jetzt simulieren wir eine normalisierende Selektion mit der Funktion gtypesel

```
## Ergebnis fuer die uebrigen Generationen berechnen
P <- vector(mode="numeric",4)
for (i in 2:ngenerations) {
  ## Calculate and store genotype frequencies
  #c(p_ab,p_aB,p_Ab,p_AB)
  P <- gtypesel(p_ab,p_aB,p_Ab,p_AB);
  #print(P)
  freq[i,] <- P # c(p_ab,p_aB,p_Ab,p_AB)
  p_ab <- P[1]
  p_aB <- P[2]
  p_Ab <- P[3]
  p_AB <- P[4]
  ## Calculate and store LD
  d[i] <- p_AB*p_ab - p_Ab*p_aB
}
```

R-Code

- gtypesel

```
gtypesel <- function(p_ab,p_aB,p_Ab,p_AB) {  
  ## Rekombinationsfrequenz 0.1  
  theta <- 0.1;  
  
  ## Selektion auf Grund des Phaenotyps  
  ## 8–9–10–11–12 cm Fluegellaenge  
  fitness_8 <- 0.8  
  fitness_9 <- 0.9  
  fitness_10 <- 1.0  
  fitness_11 <- 0.9  
  fitness_12 <- 0.8  
  
  ...}
```

R-Code

- gtypesel

```
# phenotype = 8 cm
p_ab_ab <- p_ab^2 * fitness_8
# phenotype = 9 cm
p_ab_aB <- 2*p_ab*p_aB * fitness_9
p_ab_Ab <- 2*p_ab*p_Ab * fitness_9
#phenotype = 10 cm
p_Ab_aB <- 2* p_Ab * p_aB * fitness_10
p_AB_ab <- 2*p_AB*p_ab * fitness_10
p_Ab_Ab <- p_Ab^2 * fitness_10
p_aB_aB <- p_aB^2 * fitness_10

... (usw.)
```

R-Code

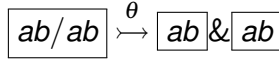
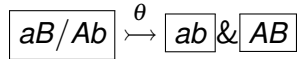
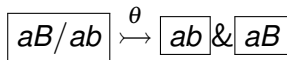
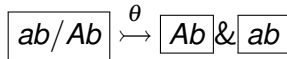
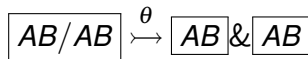
Die Summe der einzelnen Häufigkeiten muss 1 ergeben, weshalb wir renormalisieren müssen:

```
## Renormalize
total <- p_ab_ab + p_ab_aB + p_ab_Ab + p_Ab_aB \
          + p_AB_ab + p_Ab_Ab + p_aB_aB \
          + p_Ab_AB + p_aB_AB + p_AB_AB
p_ab_ab <- p_ab_ab / total
p_ab_aB <- p_ab_aB / total
p_ab_Ab <- p_ab_Ab / total
... (usw.)
```

Rekombination & Gameten

Einige, aber nicht alle Rekombinationen führen zu neuen Haplotypen¹:

Genotyp \rightarrow Gameten



¹Bemerke, dass wir der Einfachheit halber die Rekombination so modellieren, dass bei einer Rekombination alle Chromatiden rekombinieren und nicht nur zwei der vier Chromatiden (vgl. Abb. 2.11 von Strachan und Read)

R-Code

Wir können nun die Frequenz des Haplotyps ab unter den Gameten berechnen als

$$\begin{aligned} p(ab) &= p\left(\frac{ab}{ab}\right) && \bullet \text{ Jeder Gamet: } ab \\ &+ 0.5 \times p\left(\frac{ab}{aB}\right) && \bullet \text{ Jeder 2. Gamet: } ab \\ &+ 0.5 \times p\left(\frac{ab}{Ab}\right) && \bullet \text{ Jeder 2. Gamet: } ab \\ &+ (1 - \theta) \times 0.5 \times p\left(\frac{AB}{ab}\right) && \bullet \text{ Jeder 2. nicht rek. Gamet: } ab \\ &+ \theta \times 0.5 \times p\left(\frac{Ab}{aB}\right) && \bullet \text{ Jeder 2. rek. Gamet: } ab \end{aligned}$$

Die Berechnungen für die übrigen drei Gametengenotypen erfolgen analog.

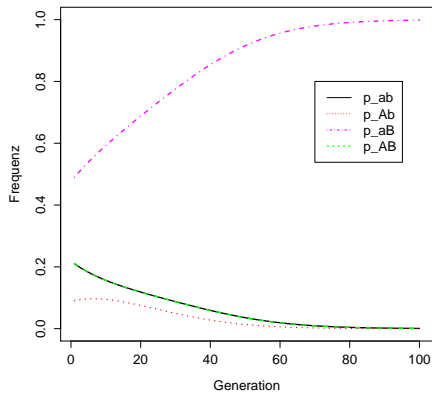
matlab/octave-Code

```
p_ab <- p_ab_ab + 0.5 * p_ab_aB + \
    0.5 * p_ab_Ab + (1-theta) * 0.5 * p_AB_ab + \
    theta * 0.5 * p_Ab_aB

p_aB <- 0.5 * p_ab_aB + 0.5 * (1-theta)* p_Ab_aB + \
    p_aB_aB + 0.5*p_aB_AB +
... (usw.)
```

R-Code

- Nach 90 Generationen hat fast jedes Individuum den Genotyp Ab/Ab und somit den günstigsten Phänotyp (Flügellänge 10 cm).
- D steigt anfangs und sinkt mit zunehmender Fixation der Allele A und b .



Outline

1 LD

2 LD-Koeffiziente

3 Normalisierende Selektion

4 Die molekulare Uhr

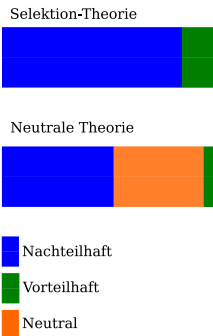
Die neutrale Theorie der molekularen Evolution

- Die Neutrale Theorie der molekularen Evolution bzw. die verwandte Idee einer *molekularen Uhr* wurden in den 1960er–1980er Jahren von Motoo Kimura eingeführt
- Die Evolutionsrate der Aminosäuresequenzen bestimmter Proteine weist über lange evolutionäre Zeiträume eine konstante Rate auf, was sich als Folge der Genetischen Drift erklären lässt.



Die neutrale Theorie der molekularen Evolution

- Frühe Darwinistische Theorien gingen davon aus, dass alle Sequenzveränderungen einen Einfluss auf die Fitness haben und somit vorteilhaft oder nachteilhaft sind
- Nach der neutralen Theorie der molekularen Evolution sind die meisten Aminosäurenpositionen neutral, Veränderungen haben keinen wesentlich Einfluss auf die Fitness



Die neutrale Theorie der molekularen Evolution

- Vorteilhafte Mutationen: Relativ selten
- Nachteilhafte Mutation dagegen werden durch die natürliche Auslese schnell vom Genpool entfernt
- Ein relativ großer Anteil der denkbaren Veränderungen der Aminosäuresequenz eines Proteins hat keinen wesentlichen Effekt auf die Funktion des Proteins
- Die Anhäufung (Akkumulation) dieser Mutation hängt demnach von der Mutationsrate ab

Die neutrale Theorie der molekularen Evolution

μ^0

Die Mutationsrate μ ergibt sich aus die Rate für nachteilhafte (μ^-), vorteilhafte (μ^+) und neutrale (μ^0) Mutationen. Da vorteilhafte Mutationen selten sind und nachteilhafte durch Selektion schnell aus der Population entfernt werden, fokussieren wir uns auf μ^0 .

Sei N_e die **effektive Populationsgröße**.

Für eine Population einer haploiden Spezies beträgt die Anzahl Mutationen pro Generation $N_e\mu^0$.

Es kann gezeigt werden, dass die Wahrscheinlichkeit, dass eine neutrale Mutation durch genetische Drift fixiert wird, $1/N_e$ beträgt.

Daher beträgt die Anzahl von neutralen Mutationen, die pro Generation fixiert werden $\frac{N_e\mu^0}{N_e} = \mu^0$

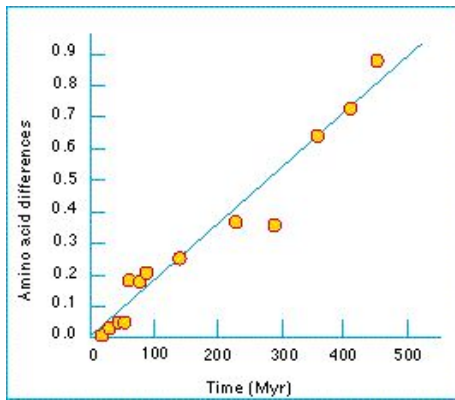
Die neutrale Theorie der molekularen Evolution

- Intuitiv: Obwohl in einer größeren Population mehr Mutationen auftreten, die Wahrscheinlichkeit dass eine spezifische Mutation in der Population fixiert wird sinkt proportional zur Populationsgröße
- Nach dem neutralen Modell bestimmt daher die Mutationsrate μ^0 die molekulare Evolutionsgeschwindigkeit unabhängig von der Populationsgröße
- Dies ist ein wichtiges Ergebnis (Vorhersage):

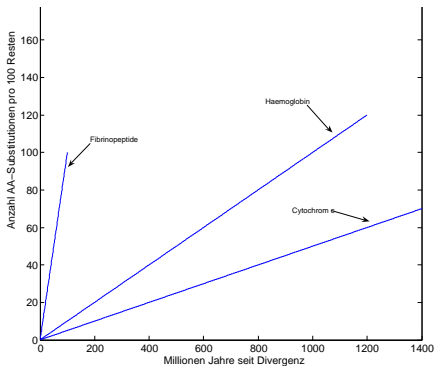
Die molekulare Evolutionsrate in einer Spezies ist dieselbe wie die neutrale Mutationsrate in Individuen^a

^aMerke dass die Mutationsrate und auch die Evolutionsrate sich für unterschiedliche Proteine unterscheiden.

Die evolutionäre Zeit mit der molekularen Uhr messen



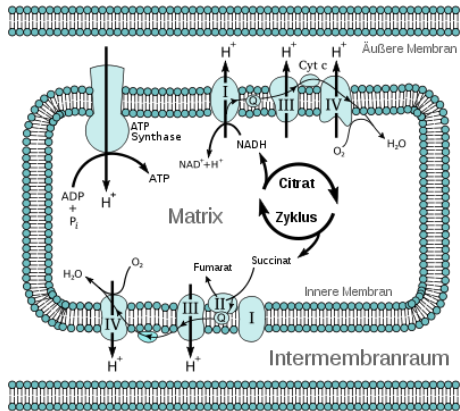
Die evolutionäre Zeit mit der molekularen Uhr messen



- Die evolutionäre Rate ist unterschiedlich für unterschiedliche Proteine (unterschiedlicher Anteil an neutralen Resten, andere Faktoren)

Cytochrome c

Human	20	30	40	50
Chicken	TVEKGGKHKTGPNLHGLFGRKTGQAaGFSYTA			
Cow	TVEKGGKHKTGPNLHGLFGRKTGQAaGFSYTD			
Dog	TVEKGGKHKTGPNLHGLFGRKTGQAaGFSYTD			
Mouse	TVEKGGKHKTGPNLHGLFGRKTGQAaGFSYTD			
Rat	TVEKGGKHKTGPNLHGLFGRKTGQAaGFSYTD			
Mosquito	TVEaGGKKHVGPNLHGFGRKTKQAAaGFSYTD			
Fruitfly	TVEaGGKKHVGPNLHGFGRKTKQAAaGFSYTD			
Worm	Vds.tatKTGP.LHGviGRTsGtvSGFdYsA			
Honeybee	TGEsGGKKHVGPNLVGYGRKTGQAaGFSYTD			
consensus	*****!**!*!**!**!**!**!***!**!			



- Wesentlicher Bestandteil der Elektronentransportkette
- Extrem hoch konserviert

Welche sind die wichtigen Positionen in einem multiplen Alignment?

		*	*	*	*	*	*	*	*		
K5E940_BOVIN	-----	M-PREDRATWSNSYFLKII	L-LDDPDKFCFIVGADNVC	K-MOIRMSLBRGK	-AVVLMGXNN	M-MBKAIRCHLENN	-PALE	76			
RLA0_HUMAN	-----	M-PREDRATWSNSYFLKII	L-LDDPDKFCFIVGADNVC	K-MOIRMSLBRGK	-AVVLMGXNN	M-MBKAIRCHLENN	-PALE	76			
RLA0_MOUSE	-----	M-PREDRATWSNSYFLKII	L-LDDPDKFCFIVGADNVC	K-MOIRMSLBRGK	-AVVLMGXNN	M-MBKAIRCHLENN	-PALE	76			
RLA0_RAT	-----	M-PREDRATWSNSYFLKII	L-LDDPDKFCFIVGADNVC	K-MOIRMSLBRGK	-AVVLMGXNN	M-MBKAIRCHLENN	-PALE	76			
RLA0_CHICK	-----	M-PREDRATWSNSYMFMI	L-LDDPDKFCFIVGADNVC	K-MOIRMSLBRGK	-AVVLMGXNN	M-MBKAIRCHLENN	-PALE	76			
RLA0_RANSY	-----	M-PREDRATWSNSYFLKII	L-LDDPDKFCFIVGADNVC	K-MOIRMSLBRGK	-AVVLMGXNN	M-MBKAIRCHLENN	-SALE	76			
Q7ZUG3_BRARE	-----	M-PREDRATWSNSYFLKII	L-LDDPDKFCFIVGADNVC	K-MOIRMSLBRGK	-AVVLMGXNN	M-MBKAIRCHLENN	-PALE	76			
RLA0_ICTPU	-----	M-PREDRATWSNSYFLKII	L-LDDPDKFCFIVGADNVC	K-MOIRMSLBRGK	-AVVLMGXNN	M-MBKAIRCHLENN	-PALE	76			
RLA0_DROME	-----	M-VBNRKAQKAUYFVVF	L-VDEFPKCIVGADNVC	K-MONOMINTLGRL	-AVVLMGXNN	M-MBKAIRCHLENN	-POLE	76			
RLA0_DICDI	-----	M-SGAG-SKRKKLFIE	KAKTLETTFTDKMVAIEADFVG	S-SOLOKIRKSIRGI	-GAVLMKK	M-MIRKYVIRDLADSK	-PELD	75			
Q5LP40_DICDI	-----	M-SGAG-SKRKKLFIE	KAKTLETTFTDKMVAIEADFVG	S-SOLOKIRKSIRGI	-GAVLMKK	M-MIRKYVIRDLADSK	-PELD	75			
RLA0_PLAF8	-----	M-ALKSLQKQKOMYMEI	LSLQIQLKQSKLHVHDYNG	M-NASAVSRSLBSRKGK	-ALILGMKQH	M-BIRTLATTKHN	-AY-POLE	76			
RLA0_BULAC	-----	M-GIAVTTTCKLAKKQH	VDEAVALV	M-ALILGMKQH	-RIRTLATTKHN	M-FKLNKAC	-MD-X	79			
RLA0_SULTO	-----	M-RIMAVITQEQRK	LAKKQHLEELKE	M-QKLRK	-RIRTLATTKHN	M-FKLNKAC	-LDVS	80			
RLA0_SULSO	-----	M-KRKLALQKQWAS	SKLQHLEELKE	M-QKLRK	-RIRTLATTKHN	M-FKLNKAC	-TDT	80			
RLA0_ARPERE	MSVFS_E	M-YOMKRYKEP	D-PETWLMLRELELLS	S-SKRVYFLWLTG	-PDTG	F-FVWVURKVKLWKK	M-PAWMAWAKRLL	-LDDN	86		
RLA0_PYRAE	MMLA1	GKRRXVRYTRO	PARKWVVKIVSEATEI	Q-LQKPYFVFLDHLG	S-RILHVEYRRLR	G-VTYK	I-KPFLIAFTVKYGG	IPAE	85		
RLA0_METAC	-----	M-ALERHNT	EHTPQWKKDELENIKEI	I-QSKHVKVGFMV	T-TEGLLTKH	M-QKLRK	-RIRTLATTKHN	-ETIN	78		
RLA0_METMA	-----	M-ALERHNT	EHTPQWKKDELENIKEI	I-QSKHVKVGFMV	T-TEGLLTKH	M-QKLRK	-RIRTLATTKHN	-ESIP	78		
RLA0_ARCFU	-----	M-AVARG5	-DPEYVTRAVEF	I-KRHSISQD	V-VAFV	M-QKLRK	-RIRTLATTKHN	-GDHL	75		
RLA0_METRA	-----	M-HAVKAKGQP	SEYE	P-KVAAWRKREV	K-ELEL	M-QKLRK	-RIRTLATTKHN	-FEL	88		
RLA0_METTH	-----	M-ARVH	-M-KVAKKQEV	P-QKLRK	H-LDHL	M-QKLRK	-RIRTLATTKHN	-ENVD	74		
RLA0_METTL	-----	M-TAEAS	H-KJAPWKE	P-VNLKEL	H-LDHL	M-QKLRK	-RIRTLATTKHN	-GTCNE	82		
RLA0_METVA	-----	M-DIAKSE	H-KJAPWKE	P-VNLKEL	H-LDHL	M-QKLRK	-RIRTLATTKHN	-GTCNE	82		
RLA0_METJA	-----	M-ETVKY	H-AVAPWKE	P-VNLKEL	H-LDHL	M-QKLRK	-RIRTLATTKHN	-GTCNE	81		
RLA0_PYRB	-----	M-HAVAPWKE	H-VNLKEL	P-VNLKEL	H-LDHL	M-QKLRK	-RIRTLATTKHN	-GTCNE	77		
RLA0_PYRHO	-----	M-HAVAPWKE	H-VNLKEL	P-VNLKEL	H-LDHL	M-QKLRK	-RIRTLATTKHN	-GTCNE	77		
RLA0_PYRFU	-----	M-HAVAPWKE	H-VNLKEL	P-VNLKEL	H-LDHL	M-QKLRK	-RIRTLATTKHN	-GTCNE	77		
RLA0_PYRKO	-----	M-HAVAPWKE	H-VNLKEL	P-VNLKEL	H-LDHL	M-QKLRK	-RIRTLATTKHN	-GTCNE	76		
RLA0_HALMA	-----	M-SAE SERKT	I-PENQKQEV	D-VAMIES	E-SVYV	I-LACI	P-ROL	-LADDDVV-	-DGE	79	
RLA0_HALVO	-----	M-SIESEVRQ	T-EVDPKRF	E-FVDFL	I-ES	E-SVYV	G-CAGIP	P-ROL	-LADDDVV-	-DGE	79
RLA0_HALSA	-----	M-SAEQRTT	E-PENQKQEV	A-FVDFL	I-ES	E-SVYV	G-CAGIP	P-ROL	-LADDDVV-	-DGE	79
RLA0_THEAC	-----	M-KK	V-SQSKKEL	V-EVDFL	I-ES	E-SVYV	G-CAGIP	P-ROL	-LADDDVV-	-DGE	72
RLA0_THEVO	-----	M-RK	I-PKKEK	V-EVDFL	I-ES	E-SVYV	G-CAGIP	P-ROL	-LADDDVV-	-DGE	72
RLA0_PICTO	-----	M-TB	P-AQKIDV	V-EVDFL	I-ES	E-SVYV	G-CAGIP	P-ROL	-LADDDVV-	-DGE	72

Welche sind die wichtigen Positionen in einem multiplen Alignment?

"Neodarwinistische Antwort"

Die Positionen, welche Veränderung aufweisen, sind besonders interessant, weil sie uns zeigen, wo die positive Selektion gewirkt hat

Synthetische Theorie der Evolution (1950–1960)

G.G. Simpson (1964)

Der Konsens ist, dass neutrale Gene oder Allele sehr selten sein müssen, falls sie überhaupt existieren. Für einen Evolutionsbiologen erscheint es hochunwahrscheinlich, dass Proteine, die ja durch Gene bestimmt werden, funktionslose Teile haben, dass schlummernde Gene über viele Generationen hinweg existieren oder dass Moleküle sich auf eine regelmäßige aber nicht adaptive Art und Weise verändern sollen. Die natürliche Auslese ist der Komponist des genetischen Codes, und die DNA, RNA und Protein seine Boten

- Nach dieser Ansicht: Unterschiede in Alignments → Folge der positiven Selektion

Welche sind die wichtigen Positionen in einem multiplen Alignment?

Antwort nach der Theorie der neutralen molekularen Evolution

Die Positionen, welche (über ausreichend lange evolutionäre Zeiträume) unverändert geblieben sind, stellen die interessantesten Positionen dar, weil sie uns zeigen, wo die negative Selektion gewirkt hat (d.h., Mutationen in diesen Positionen sind nachteilhaft)

Neutralist-Selektionist-Debatte

- Lange Zeit wurde angezweifelt, dass es überhaupt neutrale Mutationen geben kann
- Das erscheint heute klar. Auch Darwin hat die neutrale Theorie der molekularen Evolution vorweggenommen:

Charles Darwin, On the Origin of Species by Means of Natural Selection, 6th ed., 1872

Variations neither useful nor injurious would not be affected by natural selection, and would be left either a fluctuating element, as perhaps we see in certain polymorphic species, or would ultimately become fixed...

Synonyme und nichtsynonyme Substitutionen

Synonyme Substitutionen

Nukleotidsubstitutionen in einem Kodon, welche die kodierte Aminosäure nicht verändern. Zum Beispiel CTT=Leucin.

CTT→CTA=Leucin, CTT→CTC=Leucin und CTT→CTG=Leucin

Nichtsynonyme Substitutionen

Nukleotidsubstitutionen in einem Kodon, welche die kodierte Aminosäure verändern. Zum Beispiel CTT=Leucin.

CTT→ATT=Isoleucin, CTT→GTT=Valin und
CTT→TTT=Phenylalanin

Proteine vs. DNA

- Proteine sind die moleküle, die biologische Funktionen erfüllen
- Annahme: Die natürliche Auslese wirkt daher auf Proteinebene und viel weniger auf DNA-Ebene
- Schlussfolgerung: Die Mutationsrate für **synonyme** Substitutionen gibt (ungefähr) die neutrale Mutationsrate an
- Die Mutationsrate für **nichtsynonyme** Substitutionen variiert dagegen je nach Typ und Stärke der natürlichen Auslese

Proteine vs. DNA

- Sei bei einem Alignment zweier DNA-Sequenzen d_S die Anzahl der synonymen Substitutionen und d_N die Anzahl der nichtsynonymen
- Dann ist $d_N > d_S$ ein Hinweis auf **positive** Selektion
- $d_N < d_S$ ein Hinweis auf **negative** Selektion
- Zahlreiche Methoden sind entwickelt worden, um z.B. solche Methoden auf multiple Alignments anzuwenden, um Hinweise auf Neutralität in bestimmten Codons/Abschnitten zu suchen.

Mäuse und Menschen

- Der letzte gemeinsame Vorfahr von Mäusen und Menschen lebte vor ca. 75 Millionen Jahren
- Die Genomsequenzen dieser Organismen unterscheiden sich heute an ca. jedem zweiten Nukleotid

- Weniger als 1% der ~22.000 proteinkodierende Gene in der Maus haben kein homologes Gen beim Menschen. Viele Proteinsequenzen zeigen eine Übereinstimmung von über 90%



Bei der Betrachtung eines multiplen Alignments...

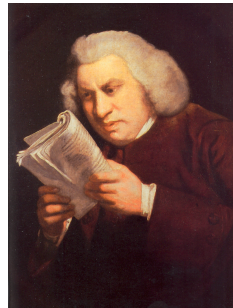
08CUN7_OCEIH/23-262
08ELC4_OCEIH/23-266
09K8U7_BACDH/22-288
05MEW6_BACSK/22-279
08ER73_OCEIH/22-286
CTAG_BACSI/21-280
065K08_BACLD/22-281
02B4U5_98ACI/1-263
05L109_GEOKA/22-284
02ASNA_98ACI/33-295
041CW2_98ACI/26-285
Q1H1C4_METFK/43-289
001RA2_SOLUE/42-282
0131J4_BURXL/64-313
A0G4F4_98KBF/59-310
00ML06_9RHIZ/37-286
04IX09_AZOV/37-262
A0HY77_PSEME/39-261
05P902_AZOSE/147-370
00LFY3_HERAU/14-252
A0I69_9CHLR/14-253
067MK8_SYMTH/42-281
03J049_BURPL/20-265
06XN36_RHOER/28-280
070K40_9ARITO/355-608
073XL2_MYCPA/390-645
A1TCF0_MYCP/380-635
01BSW4_MYCSS/375-630
06ABY8_LEIXX/366-618

CLLYIICYFFFVIL.....PVTE..SGSHKKAVLTILGVTFIAISGSPNITAR.LTFOGHMIOILLTIVVSAPLLVA
VVVIAIIYASSI.....IFLTDV..KWHYHROPILFFLSLSLFYVIMGSPLATISH.LSFLSHMIOMSILYFIVPPLLIT
LAMVGFVYFMIA.TKWRERFTINSE..PVPIRKKIYFLGLALIYIGWGSPEFYVAGH.LMIFTHMAQMVFAYFIAPVPLLL
LVGVAFVYFMIA.....FFRTRN..AGPKRKRPLREFGND..KPTAKQOSMFYIALLL.YFVKGAPIDLLSH.ITLTAHHIQOMAIYVFPMLMK
VILLGTAYYLFLYFVPLRREFGND..KPTAKQOSMFYIALLL.YFVKGAPIDLLSH.ITLTAHHIQOMAIYVFPMLMK
LLGGITALYLYFVY...RRMSKPN..RITDKEWMCFSLVYAEGRSPVDLGH.IMFSAHHVQMAVLYLVVPPLLIA
VVVITALYFLML...KRLGSEGE..RASRKEIGFLTAMILLYASKGSPVDLGH.IMFSAHHVQMAVLYLVVPPLLIA
MLAIIAAYFLLT.KVYKQRFSGST..PLSAKQAVLFTAIIILYVAKGSPVDLGH.ITYFYAHMIOQMSILYLVIPPLLIT
LAVALLYIAGT.GFWQRQFRGLGD..AVSEKOKAYFLGTLGIALYICKGSPVDLGH.LTFTAHNVQMAVLYLIVPQCFIL
MISILISYFLIT.GPYRTFRFENAT..KVSKKKQFVYFTTGIVILYVVKGPPIDLIGH.IIFSAHHVHEAVMYIAVPPPLL
LIGIYVLYAVLTL..EKIRRPGLT..ETLGOKEMLAALFVYVYIGFGSPVDLVLAH.ITFSAAHQLQWVFVYMVAPPVLM
VHLLALVLYL...GLYRMTRKIGRPTSDAPMRKAFLAHLTVLVALFVYVYIGFGSPVDTLGN.AYFSMHVQHELLMIVIAAPPVLM
LLLTAVLYF.....RGASGR..GWSLKQTTFFFVWAGNSILCALLSSPLHPLGE.ALFSAHHVQHELLMIVAAPPLV
MLASTLAYAVYVYRLRGRSPRSR..ATRAWMKAFAAGMALLVGFGLDPLSLSA.ALFSAHHVQHEVTPMLIAAPPVLL
HAMSAAAAYAAGYVYRLRGRSPRSR..ARVHLIAFVSYGVWALALALFSPDPLTLSG.ALFSAHHVQHESMMLIAAPPVLL
PLALLTALAYAIGMRRRLWSASARGQ..TIIHLQRAVCFAAGLWFLAALVSPVPLDRLAT.QLFTAHNIEHEILMVIAPPLV
LGAGLLAAAYLIGYEGGCRHRPAAR..R..RRALLHGLLLAALSLFGPDLDEAAE.SAAAHHQAQHMLLMLAVAPLLAL
VLLGSAMWLLYI..GCRKVRPHGR..E..ALMWMLAMWITVFAVFGPVIDOWAE.TSTSLLHNVQHMLFMIVIAPLWL
LIAAIIAGAAGLYGLGARRVPPGR..V..QATWFCAAAGIALVGFGLDPLRWAES.NSTALHNVQHMLLIVVAPPLGAL
LIAATVGYLWAV..GPARKRLGGPA..APPVKAVALFSGLLALGLISMPSIGVIMADRYLFTHHNVQHMLLMTKFCAPMLI
LALIAGGYLGCVTGPRLRRFFPSGA..PPTPVQVRLFYVGHVYLFIASAPSIDSLAS.YLLTHHIL0HLLLANYVAPPLLL
TVLLNAAAYLLV..NLWPRRFLPQ..PPVPMVROVLFCGLWTVYLYSEBTPIHMSLYLFSVHVNHOTLL.THVPPLL
VLLVAGVLF..RGAARKA..KVSASRRRVAFWGLVLYVALHTRLDYFVE.HEFFHMRAQOHVLVHHLGPFFIAL
LPLJGIVLLNAAYCWSVYRTVATSGR..WMPVTRTAFSGLFCGCLLILTVLGLAVEGYGY.ELFSLWFMQHOTLTSMAIPPLV
VAAVVGAVYGYVY..AARRERASGH..RWPIZRRTVSWWGVCAVVVTS5SGLKGAYN.ALFSVHMAEHHTALTWIAVPLV
FGTAIAIVLGLGYAGVVRLLRRRGD..AMP1GVRVWALLGCLVLLLAATSSG1IGRYMP.AMFSSHHVQHMLLSMLAPILV
LGSAAIIILVLYLAGWNRLLRRRGD..AMP4GRTVWALLGCAITLLITTS5GLGRYMP.AMFSVHVAHMLLSMLVPLV
LACAFALFFYL..AGVWRLKRQD..RWPVHRTLWTFGIVLLFFVTSGGNVYEK.YTFLVHHSAMVHLTHAVPLLV

Wichtigste Voraussetzung: Die Divergenz ist ausreichend hoch, so dass man funktionell bedeutsame Elemente durch ihren hohen Grad an Konservierung erkennen kann

The End of the Lecture as We Know It

- Kontakt:
peter.robinson@charite.de
- Vorlesungsskript Kapitel 4,
Strachan & Read Kapitel 15.4
- Bromham L, Penny D (2003)
The modern molecular clock.
Nature Reviews Genet
4:216–224.



Lectures were once useful; but now, when all can read, and books are so numerous, lectures are unnecessary. If your attention fails, and you miss a part of a lecture, it is lost; you cannot go back as you do upon a book... People have nowadays got a strange opinion that everything should be taught by lectures. Now, I cannot see that lectures can do as much good as reading the books from which the lectures are taken. I know nothing that can be best taught by lectures, except where experiments are to be shown. You may teach chymistry by lectures. You might teach making shoes by lectures!

Samuel Johnson, quoted in Boswell's Life of Johnson (1791).